

УДК 534.222;537.635

© 1992

**О ПРОЦЕССЕ НАМАГНИЧЕНИЯ  
И КОНТУРЕ МАГНИТОАКУСТИЧЕСКОГО РЕЗОНАНСА  
ПОЛИДОМЕННОГО КРИСТАЛЛА ЖИГ**

*Л. К. Зарембо, С. Н. Карпачев, О. Ю. Беляева*

Сообщаются результаты экспериментального исследования магнитоакустических спектров железо-иттриевого граната при инвертировании внешнего магнитного поля и (или) изменении направления распространения звуковой сдвиговой волны. Их различие подтверждает спин-волновой характер магнитоакустического резонанса (МАР). Проведено изучение особенностей поляризации волны в области МАР. Показано, что в формировании контура линейного МАР участвуют 180° домены и имеет место пространственно-полевой дублет. Анализ тонкой структуры магнитоакустических спектров позволяет получить сведения о динамике доменной структуры в процессе намагничивания.

Ранее было показано [1], что контур магнитоакустического резонанса на попеченных акустических волнах (S-МАР) в однодоменном кристалле в виде тонкого стержня из-за неоднородного внутреннего поля имеет резкое вступление и плавное окончание — форма, которая была названа «канонической». В полидоменном кристалле контур МАР отличается от канонического, что также проявляется при смене знака внешнего поля [1, 2]. Анализ тонкой структуры магнитоакустических спектров позволяет получить сведения о динамике доменной структуры в процессе намагничивания и с этой точки зрения представляет определенный интерес.

В этой работе сообщаются результаты экспериментального исследования магнитоакустических спектров железо-иттриевого граната (ЖИГ) при инвертировании внешнего магнитного поля и (или) изменении направления распространения звуковой волны; проведено изучение особенностей поляризации волны в области МАР.

Исследуемый образец монокристалла имел форму цилиндра диаметром 7 и длиной 15 мм, ориентированного по оси [100], вдоль которой распространялась поперечная звуковая волна частотой 30 МГц. Использовалась экспериментальная установка, описанная в [3]. На рис. 1. приведены линейные магнитоакустические спектры в области МАР (зависимость амплитуды первой гармоники  $A_\omega$  от внешнего магнитного поля  $H_0$ ), полученные при распространении звука против направления внешнего магнитного поля ( $(k^-, H_0^-)$  и  $(k^+, H_0^+)$ )<sup>1</sup> (a) и по направлению поля ( $(k^+, H_0^+)$  и  $(k^-, H_0^-)$ ) (б). На каждом из рисунков направление поля относительно образца  $H_0^\pm$  (сплошная кривая 1) менялось на противоположное  $H_0^\mp$  (штриховая кривая 2).<sup>1</sup> Видно, что обращение знака лишь одной из величин  $H_0$  и  $k$  приводит к существенному изменению характера контура МАР, в то время как одновременное обращение  $H_0$  и  $k$  практически не сопровождается изменением спектра.

<sup>1</sup> Здесь и далее предполагается, что с образцом жестко связана определенная ось координат, при этом индекс  $\leftrightarrow$  означает направление вдоль этой оси, а индекс  $\longleftrightarrow$  против.

Наблюдаемый эффект не может быть интерпретирован как характерный для гиротропных сред эффект невзаимности. Последний имеет место лишь для циркулярно-поляризованных волн [4]; в нашем же случае излучались и принимались поперечные волны с поляризацией, близкой к линейной. Поляризационные особенности исследовались при приклейке приемного преобразователя к образцу жидкой склейкой (смесь эпоксидной смолы с касторовым маслом), что давало возможность вращать его по отношению к кристаллу. По сдвигу фазы принимающего сигнала при повороте преобразователя была установлена слабая эллиптическая поляризация прошедшей волны преимущественно  $p^-$  поляризации при условии  $(H_0^+, k^+)$  и  $p^+$  при  $(H_0^-, k^+)$  (индекс «—» при поляризации звуковой волны  $p$  означает вращение против часовой стрелки по отношению к вектору  $k$ , а индекс «+» по часовой стрелке). Эти измерения были проведены при двух значениях внешнего поля  $H_0$ : в области вступления контура МАР и в области его завершения.

Для объяснения результатов обратимся к анализу взаимодействия звука с прецессией спинов в  $180^\circ$  доменах разных знаков. При  $H_0 = 0$  равновесный размер доменов  $\approx 40$  мкм; в центре кристалла при плавном изменении внутреннего поля линейный размер резонансной области  $\approx 500$  мкм [5]. Существование доменов приводит к довольно резкому изменению локального внутреннего поля и создает возможность участия в резонансе группы доменов (даже на периферии кристалла). Поэтому в резонансной области находятся домены разного знака  $m^+$  и  $m^-$ . Возможные взаимодействия циркулярно-поляризованных мод  $p^+$  и  $p^-$  со спиновыми волнами и их векторные диаграммы показаны в таблице. Принципиальная возможность этих взаимодействий следует из инвариантности уравнения Ландау

№ п/п	Векторная диаграмма полей	Знак домена при $H_0^+$	Поляризация волны	$m_{\text{эфф}}$	$H_0$ (резонансное)
1		$m^+$	$p^+$	$\approx 0$	$H_{BH}^{(1)} + \omega/\gamma$
2		$m^+$	$p^-$	$\approx \pi$	$H_{BH}^{(2)} - \omega/\gamma$
3		$m^-$	$p^+$	$\approx \pi$	$H_{BH}^{(3)} + \omega/\gamma$
4		$m^-$	$p^-$	$\approx 0$	$H_{BH}^{(4)} - \omega/\gamma$

и уравнений магнитоупругости относительно изменения знака  $m$  и  $H_{\text{эфф}}$  (равного сумме внешнего  $H_0$  и внутреннего  $H_{\text{BH}}$  полей). Отметим, однако, что случаи 2 и 3 соответствуют максимуму энергии магнитного момента в эффективном поле; их реализация менее вероятна, чем случаи 1 и 4. В таблице также указаны значения внешних резонансных полей; при заданном  $H_0$  резонансы 1 и 4 относятся к разным «полосам» внутреннего поля и, следовательно, имеют место, вообще говоря, в разных местах кристалла (рис. 2). В полосе 1  $|H_{\text{BH}}^{(1)}| = H_0 - \omega\gamma$  и при  $k^+$  имеет место взаимодействие моды  $p^+$  в  $m^+$  доменах, а в полосе 4  $|H_{\text{BH}}^{(4)}| = H_0 + \omega\gamma$  взаимодействие  $(m^-, p^-)$ .

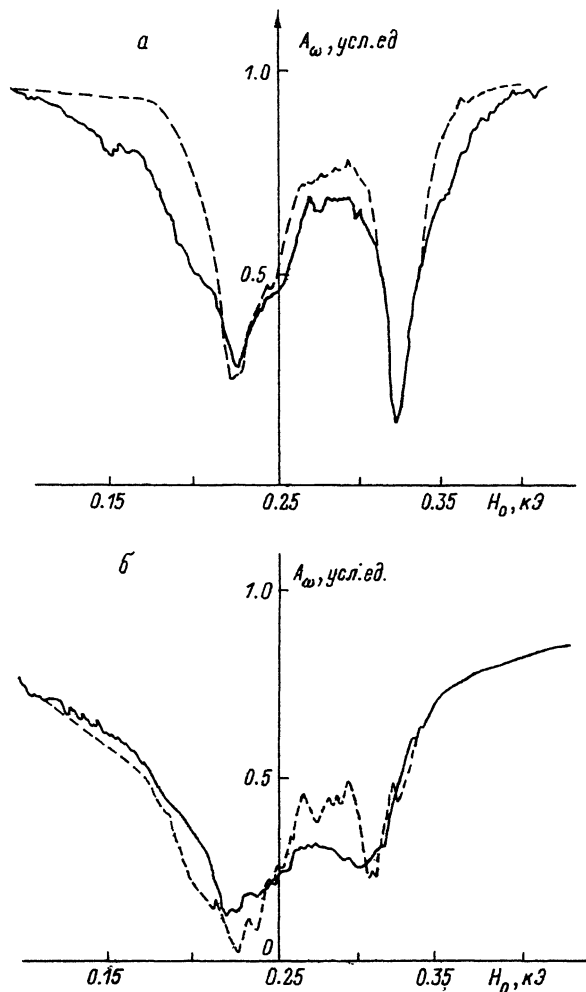


Рис. 1. Линейные магнитоакустические спектры монокристалла ЖИГ.

*a* — звук направлен против внешнего поля, *b* — по внешнему полю. Сплошная кривая —  $H_0^+$ , штриховая —  $H_0^-$

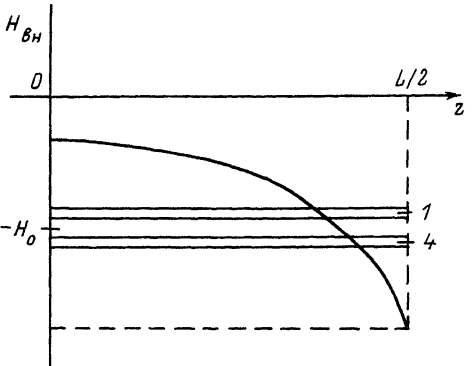


Рис. 2. Распределение внутреннего поля и соответствующие внешнему полю  $H_0$  резонансные «полосы» 1 и 4.

поле будет поглощаться лишь  $p^+$  и суммарная волна

$$p = p^+ + p^- = a_0 (1 + e^{-al}) n_x + a_0 (1 - e^{-al}) n_y$$

имеет циркулярную  $p^-$  эллиптическую поляризацию с длинной осью, направленной вдоль первоначальной поляризации. Амплитуда прошедшей волны при этом не может уменьшиться более чем наполовину. Иная ситуация возникает в полидоменной области длиной  $z_0$ , где путь  $z_0 - l$  волна проходит в  $m^-$  домене: амплитуда прошедшей волны  $a_0 [e^{-a(z_0-l)} + e^{-al}]$  имеет минимум  $2a_0 e^{-az_0/2}$  при симметричном разбиении ( $l = z_0/2$ ) на домены  $m^+$  и  $m^-$ ; очевидно, что при этом амплитуда прошедшей волны может быть меньше половины амплитуды исходной волны  $a_0$ . Как это видно из рис. 1, результаты эксперимента свидетельствуют о том, что резонансная область, являясь в наших условиях (низкочастотный МАР) границей между уже намагниченной до насыщения частью кристалла и ненамагниченной, сохраняет еще полидоменную структуру. Еще не закончившееся преимущественное развитие  $m^+$  доменов при  $H_0^+$ , естественно, при  $k^+$  должно приводить к преимущественной  $p^-$  поляризации прошедшей волны, что и наблюдается в эксперименте. Аналогичное объяснение находит и преимущественность  $p^+$  при условии ( $k^+, H_0^-$ ).

Почти полная тождественность контуров МАР при ( $k^+, H_0^+$ ) и ( $k^-, H_0^-$ ) объясняется достаточно мелким масштабом исходной равновесной ( $H_0 = 0$ ) доменной структуры, а также малой концентрацией дефектов (дислокаций, блоков и т. д.) исследуемого кристалла.

Обратимся теперь к отличию контуров ( $k^-, H_0^+$ ) и ( $k^+, H_0^-$ ) от контуров ( $k^+, H_0^+$ ) и ( $k^-, H_0^-$ ), т. е. при распространении (независимо от положения кристалла) звука против и по направлению внешнего поля. Известно (см., например, [6]), что в неоднородном поле собственная спиновая волна распространяется в сторону убывающих внутренних полей. При симметричном внутреннем поле  $H_{\text{вн}}(z) = H_{\text{вн}}(-z)$  ( $z = 0$  в центре кристалла) и ( $k^+, H_0^+$ ) в области  $z < 0$  возбуждаемая в резонансной области собственная спиновая волна бежит навстречу звуковой, в то время как при  $z > 0$  в одном направлении. Встречное взаимодействие существенно менее эффективно, чем попутное, поэтому из двух ветвей внутреннего поля в формировании контура МАР принимает участие лишь одна, т. е. «резонирует» лишь одна из половин кристалла. Различие в контурах  $k^-$  и  $k^+$  при одном и том же направлении внешнего поля обусловлено несимметричностью

Остановимся на некоторых особенностях поглощения в полидоменной структуре линейно-поляризованной волны, которая может быть представлена в виде суммы двух циркулярно-поляризованных мод:

$$p^+ = a(z) [n_x(z, t) - n_y(z, t)],$$

$$p^- = a(z) [n_x(z, t) + n_y(z, t)],$$

где  $z$  — направление распространения,  $2a(0) = 2a_0$  — начальная амплитуда исходной волны,  $n_i(z, t)$  — волновые множители ( $|n| = 1$ ). По прохождении домена одного знака (например,  $m^+$ ) длиной  $l$  при фиксированном внешнем

функции  $H_{\text{вн}}(z)$ , вызванной либо дефектами, либо небольшим отклонением формы образца от цилиндрической. Этот эффект изменения контура МАР при изменении  $k$  еще раз свидетельствует о спин-волновом характере магнитоакустического резонанса. В этой связи следует отметить, что двухполосный характер резонансной области в полидоменном кристалле увеличивает длину и, следовательно, эффективность волнового взаимодействия.

Подводя итог, следует сказать, что результаты этой работы свидетельствуют о следующем:

1. Доменная структура сохраняется в условиях, при которых неоднородное внутреннее поле ориентировано против внешнего, т. е. на почти завершающейся стадии намагничения. Значительная ширина контура МАР по полю ( $\approx 200$  Э), в которой амплитуда прошедшей волны меньше половины амплитуды вне резонанса (рис. 1), свидетельствует о том, что в резонансных областях в центре кристалла и на периферии еще не произошло полное перемагничивание доменов, знак которых противоположен знаку внешнего поля.

2. В контуре линейного МАРа полидоменного кристалла с неоднородным внутренним полем имеет место пространственно-полевой доменный дублет: при заданном внешнем поле резонанс имеет место в двух пространственно разнесенных областях (полосах внутреннего поля); в одном и том же месте кристалла с  $180^\circ$  доменами резонанс наступает при разных внешних полях, ширина дублета по полю  $\Delta H_d = 2\omega/\gamma$ . Пространственно-полевой резонанс «размывает» контур МАР.

3. Проявление спин-волнового характера магнитоакустического резонанса еще раз подтверждается различием контуров МАР при разных направлениях распространения звука (и одном и том же направлении поля).

#### Список литературы

- [1] Зарембо Л. К., Карпачев С. Н. // ФТГ. 1984. Т. 26. № 7. С. 1943—1945.
- [2] Зарембо Л. К., Карпачев С. Н. // ФТГ. 1986. Т. 28. № 1. С. 311—313.
- [3] Зарембо Л. К., Карпачев С. Н. // ФТГ. 1983. Т. 25. № 8. С. 2343—2345.
- [4] Такер Дж., Рэмитон В. Гиперзвук в физике твердого тела. М.: Мир, 1975. 453 с.
- [5] Зарембо Л. К., Карпачев С. Н. // ЖЭТФ. 1987. Т. 93. № 2(9). С. 1499—1507.
- [6] Штраус В. Физическая акустика. Т. 4Б / Под ред. У. Мэзона. М.: Мир, 1970. С. 247—316.

Московский государственный университет  
им. М. В. Ломоносова

Поступило в Редакцию  
1 октября 1990 г.